

Measurement of the anomalous  
like-sign dimuon charge asymmetry  
with  $9 \text{ fb}^{-1}$  of  $p\bar{p}$  collisions

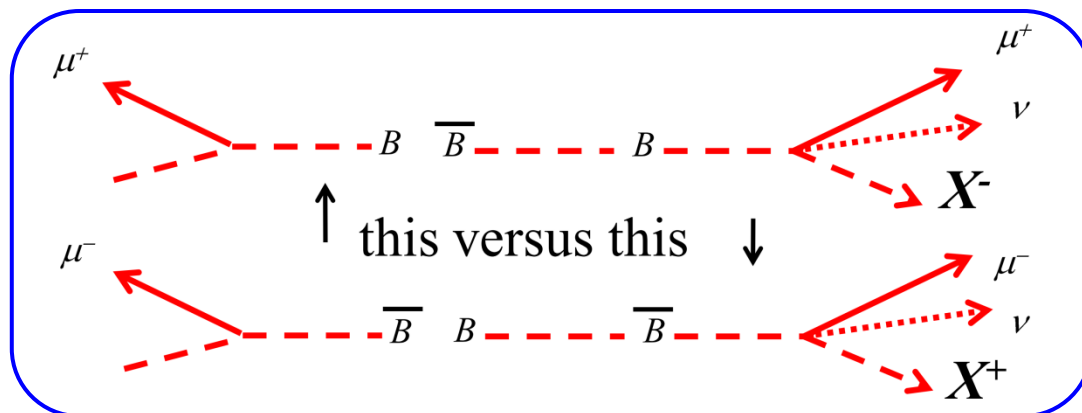
2011年9月05日  
論文セミナー

# イントロダクション

# モチベーション

$B^0 - \bar{B}^0$  ( $B_s^0 - \bar{B}_s^0$ ) 振動を用いてCPVを測定することが目的。

$B^0 \rightarrow X^- \mu^+ \nu$  崩壊を利用する。



測定すべき非対称度は以下のように定義される。

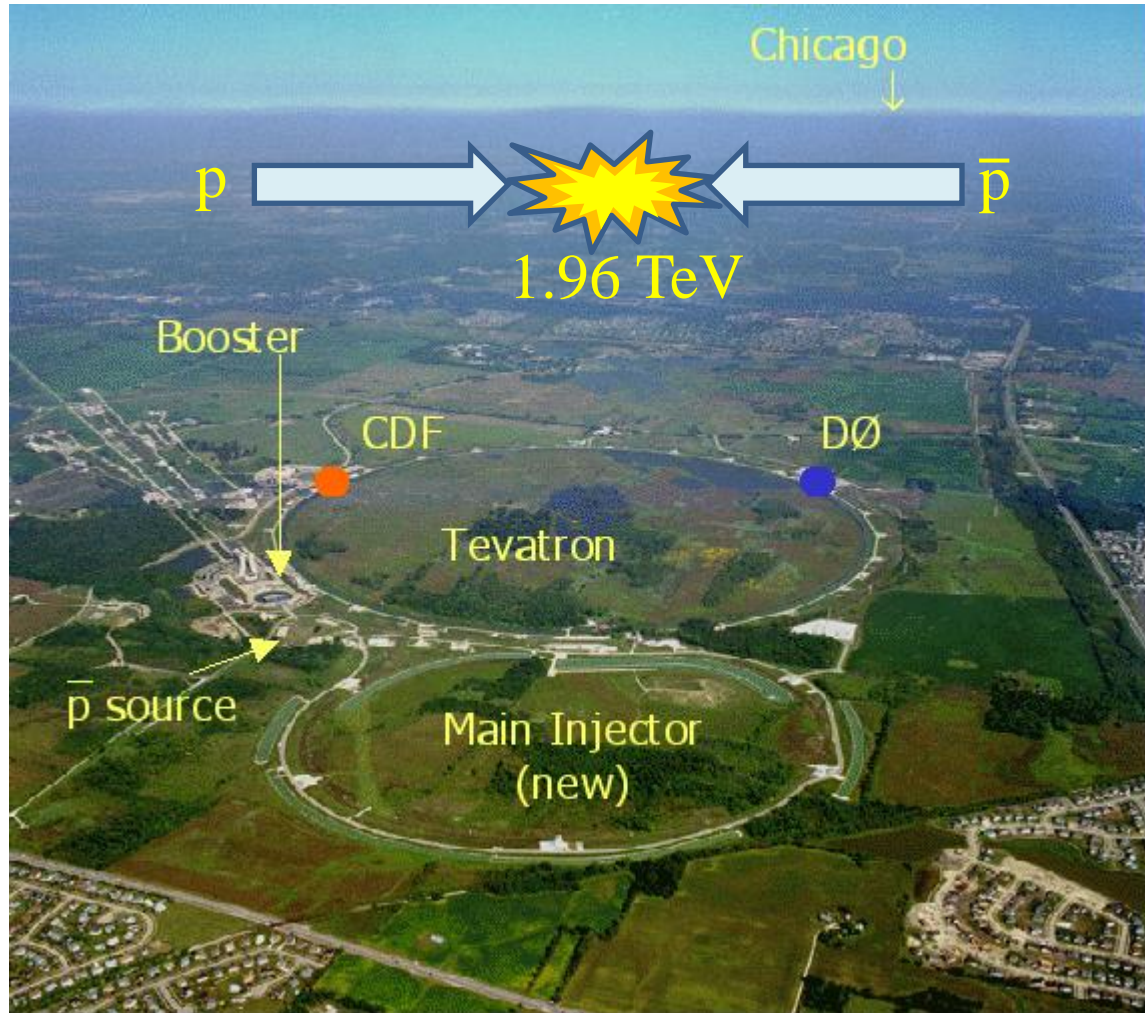
$$A_{\text{sl}}^b \equiv \frac{N_b^{++} - N_b^{--}}{N_b^{++} + N_b^{--}} = C_d a_{\text{sl}}^d + C_s a_{\text{sl}}^s, \quad a_{\text{sl}}^q = \frac{\Delta\Gamma_q}{\Delta M_q} \tan \phi_q$$

$C_d, C_s$  は LEP で測定された値を使う。

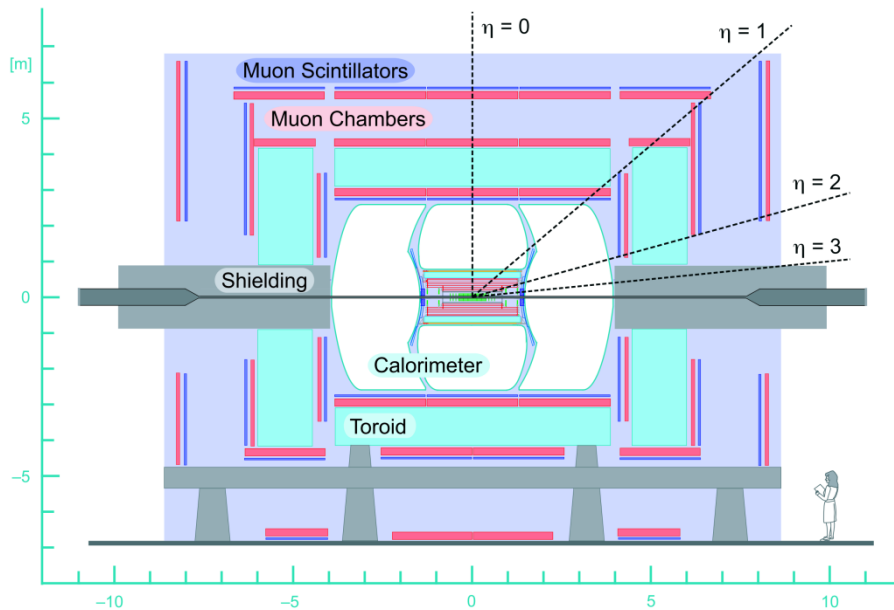
$$C_d = 0.594 \pm 0.022, \quad C_s = 0.406 \pm 0.022$$

# 実験施設

実験はアメリカ、フェルミラボの Tevatron で行われた。



# D0 検出器



- 最内層には荷電粒子のバーテックスと運動量を測定するためのトラッキングシステムを配置。
- トラッキングシステムの外側には  $e$ ,  $\gamma$ , jet のエネルギーと方向を測定するためのカロリメータ。
- 外側の3層はミューオンのIDや運動量の測定のためのトロイダルマグネット、チェンバー、シンチレータ。

# 解析手法

# 解析手法

この解析では、直接検出している粒子はミューオンのみで、2種類のミューオンのデータセットを使う。

- ① **Inclusive muon** : とにかく  $\mu$  を含むイベント。
- ② **Like-sign dimuon** :  $\mu$  を2つ以上含み、そのうちの2つが同符号であるイベント。3つ以上の同符号の  $\mu$  を含む場合、垂直方向の運動量 ( $p_T$ ) が大きいものを選択。

また、これらの  $\mu$  は以下のように分類される。

- *L* (long) muon :  
 $K, \pi, p$  由来の  $\mu$ 。interaction point から少し飛んだところで生成される。CPVとは関係がなく、バックグラウンドになる。
- *S* (short) muon :  
 $b, c$  や  $\tau$ 、短寿命のメソン ( $\phi, \omega, \eta, \rho^0$ ) 由来の  $\mu$ 。  
interaction point の近傍で生成される。CPVの効果を含む。

# 解析手法

この2つのデータセットに対してそれぞれ非対称度を定義する。

$$a = \frac{n^+ - n^-}{n^+ + n^-} = \sum_{i=1}^6 f_{\mu}^i \{f_S^i (a_S + \delta_i) + f_K^i a_K^i + f_{\pi}^i a_{\pi}^i + f_p^i a_p^i\}$$

$$A = \frac{N^{++} - N^{--}}{N^{++} + N^{--}} = F_{SS} A_S + F_{SL} a_S + \sum_{i=1}^6 F_{\mu}^i \{(2 - F_{\text{bkg}}^i) \delta_i + F_K^i a_K^i + F_{\pi}^i a_{\pi}^i + F_p^i a_p^i\}$$

$$F_{\text{bkg}}^i \equiv F_K^i + F_{\pi}^i + F_p^i$$

$$F_{\text{bkg}} \equiv \sum_{i=1}^6 (F_{\mu}^i F_{\text{bkg}}^i) = F_{SL} + 2F_{LL} = 1 + F_{LL} - F_{SS}$$

$f, F$  はそれぞれのフラクション、 $a, A$  は非対称度、 $\delta$  は  $\mu$  の検出、同定の際の荷電非対称度である。また、上付きの  $i$  は  $\mu$  の  $p_T$  による分類である(下図)。

| Bin | Muon $p_T$ range (GeV) | $f_{\mu}^i$ | $F_{\mu}^i$ |
|-----|------------------------|-------------|-------------|
| 1   | 1.5 - 2.5              | 0.0077      | 0.0774      |
| 2   | 2.5 - 4.2              | 0.2300      | 0.3227      |
| 3   | 4.2 - 5.6              | 0.4390      | 0.3074      |
| 4   | 5.6 - 7.0              | 0.1702      | 0.1419      |
| 5   | 7.0 - 10.0             | 0.1047      | 0.1057      |
| 6   | 10.0 - 25.0            | 0.0484      | 0.0449      |



# 解析手法

この2つのデータセットに対してそれぞれ非対称度を定義する。

$$a = \frac{n^+ - n^-}{n^+ + n^-} = \sum_{i=1}^6 f_{\mu}^i \{ f_S^i (a_S + \delta_i) + f_K^i a_K^i + f_{\pi}^i a_{\pi}^i + f_p^i a_p^i \}$$

$$A = \frac{N^{++} - N^{--}}{N^{++} + N^{--}} = F_{SS} A_S + F_{SL} a_S + \sum_{i=1}^6 F_{\mu}^i \{ (2 - F_{\text{bkg}}^i) \delta_i + F_K^i a_K^i + F_{\pi}^i a_{\pi}^i + F_p^i a_p^i \}$$

$$F_{\text{bkg}}^i \equiv F_K^i + F_{\pi}^i + F_p^i$$

$$F_{\text{bkg}} \equiv \sum_{i=1}^6 (F_{\mu}^i F_{\text{bkg}}^i) = F_{SL} + 2F_{LL} = 1 + F_{LL} - F_{SS}$$

特に、 $a_S, A_S$  は  $S$  muon の非対称度であり、

$$a_S = c_b A_{\text{sl}}^b, \quad A_S = C_b A_{\text{sl}}^b$$

と表される。よって、この  $a, A$  を使って  $A_{\text{sl}}^b$  を求めることが出来る。

# 解析手法

この2つのデータセットに対してそれぞれ非対称度を定義する。

$$a = \frac{n^+ - n^-}{n^+ + n^-} = \sum_{i=1}^6 f_{\mu}^i \{ f_S^i (a_S + \delta_i) + \underline{f_K^i a_K^i} + f_{\pi}^i a_{\pi}^i + f_p^i a_p^i \}$$

$$A = \frac{N^{++} - N^{--}}{N^{++} + N^{--}} = F_{SS} A_S + F_{SL} a_S + \sum_{i=1}^6 F_{\mu}^i \{ (2 - F_{\text{bkg}}^i) \delta_i + \underline{F_K^i a_K^i} + F_{\pi}^i a_{\pi}^i + F_p^i a_p^i \}$$

$$F_{\text{bkg}}^i \equiv F_K^i + F_{\pi}^i + F_p^i$$

$$F_{\text{bkg}} \equiv \sum_{i=1}^6 (F_{\mu}^i F_{\text{bkg}}^i) = F_{SL} + 2F_{LL} = 1 + F_{LL} - F_{SS}$$

この解析における最大のバックグラウンドは、 $K$  によるものであるので、

$$A' \equiv A - \alpha a$$

を使うことで、その寄与を抑えることが出来る。

$f_K^i$  と  $F_K^i$  は同じ物理過程が寄与しており、強い相関があるため、適切に  $\alpha$  を選べば、その一部を相殺することが出来る。

# バックグラウンド

この解析で見ているものは  $\mu$  のみなので、他の粒子を  $\mu$  とIDしてしまふものがバックグラウンドになる。

また、シグナルの  $\mu$  は  $B^0$  由来のものなので、本物の  $\mu$  でも  $K$  や  $\pi$  由来の  $\mu$  はバックグラウンドとなる。この解析における主なバックグラウンドは



である。特に、 $K$ 、 $\pi$  は負電荷の粒子に含まれる  $\bar{u}$  が物質中の  $p$ 、 $n$  に含まれる  $u$  と反応するため、正電荷のものより反応断面積が大きく、非対称度に大きな影響を与える。

# 測定

# ミューオンの選定

- 垂直方向運動量 ( $p_T$ ):  $1.5 < p_T < \underline{25 \text{ GeV}}$   $W, Z$  からの  $\mu$  を抑制

更に  $p_T$  を6つの領域に分類

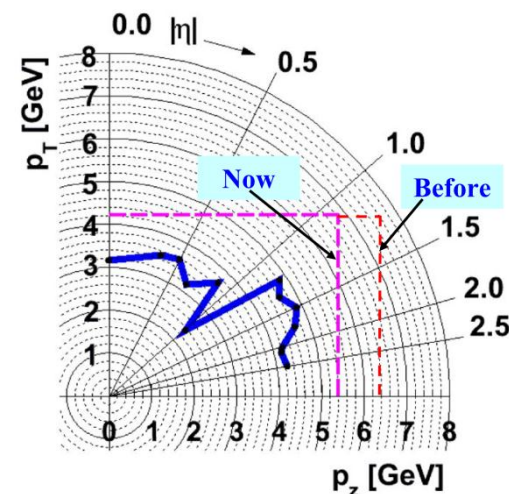
| Bin | Muon $p_T$ range (GeV) | $f_{\mu}^i$ | $F_{\mu}^i$ |
|-----|------------------------|-------------|-------------|
| 1   | 1.5 – 2.5              | 0.0077      | 0.0774      |
| 2   | 2.5 – 4.2              | 0.2300      | 0.3227      |
| 3   | 4.2 – 5.6              | 0.4390      | 0.3074      |
| 4   | 5.6 – 7.0              | 0.1702      | 0.1419      |
| 5   | 7.0 – 10.0             | 0.1047      | 0.1057      |
| 6   | 10.0 – 25.0            | 0.0484      | 0.0449      |

- Pseudorapidity ( $\eta$ ):  $|\eta| < 2.2$

$$\eta \equiv -\ln [\tan (\theta / 2)]$$

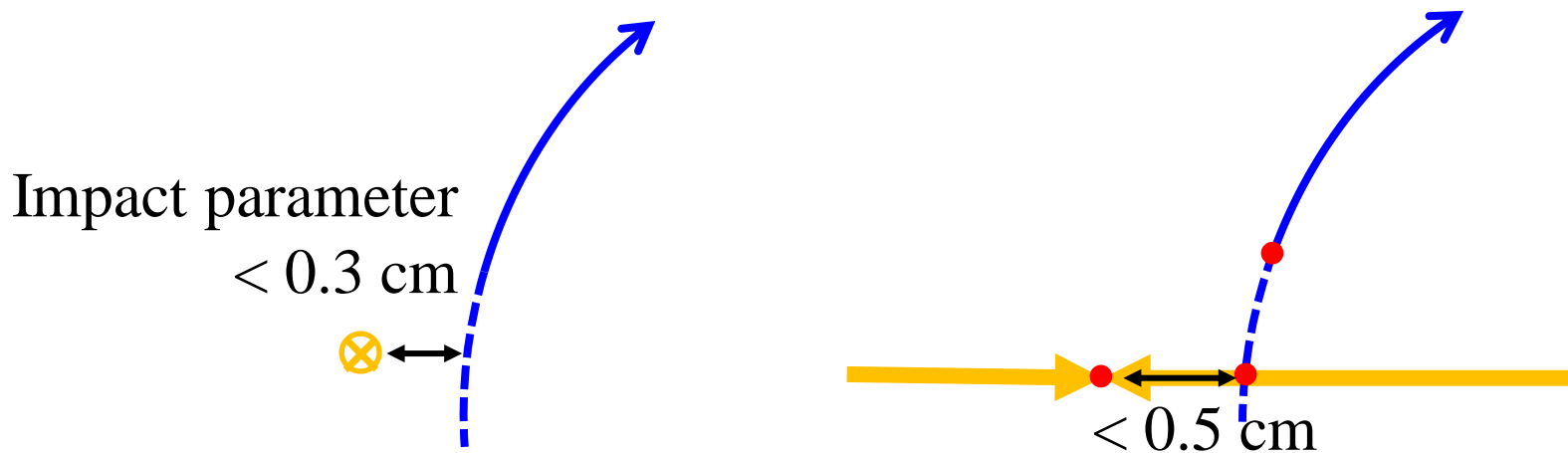
- $\mu$  用の検出器3層を通り抜けることを要求。

$$p_T > 4.2 \text{ GeV or } |p_Z| > 5.4 \text{ GeV}$$



# ミューオンの選定

- $b$  からは  $S$  muon が出るので interaction point からの距離に制限。



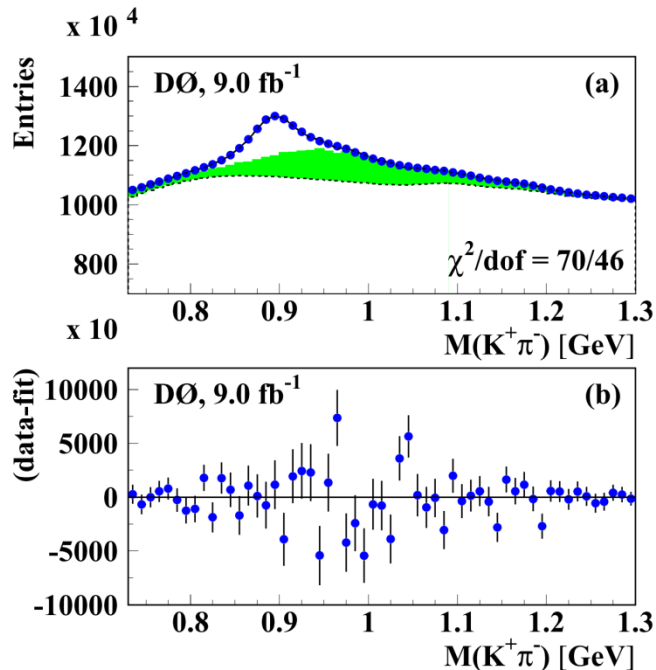
- dimuon に関しては、同じ  $b$  からの  $\mu$  を除外。

$$M_{\mu\mu} > 2.8 \text{ GeV}$$

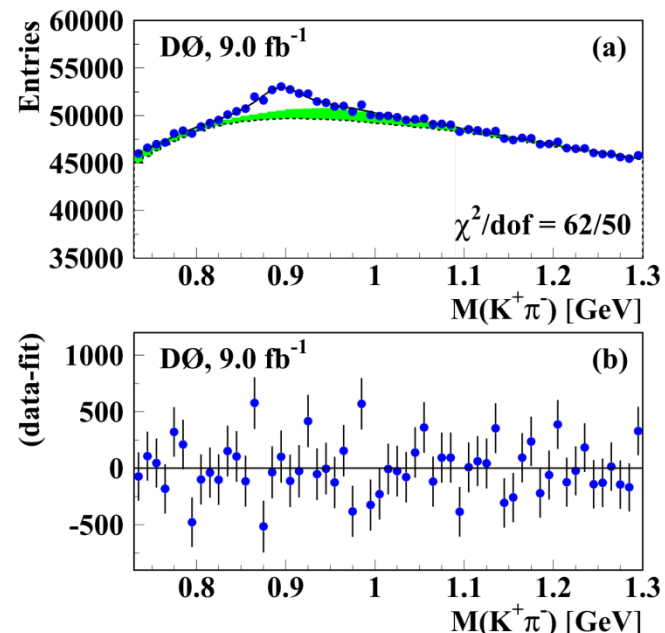
# $f_K, f_\pi, f_\rho$ の測定

$K^+ \rightarrow \mu^+ \nu$  は再構成できないので、 $f_K$  は  $K^{*0} \rightarrow K^+ \pi^-$  で  $K$  を  $\mu$  と誤って同定した場合を用いて測定する。

要するに、集めた  $\mu$  のデータサンプルを  $K$  だと思ってこのモードを再構成すると、本当に  $K$  だったものは  $K^{*0}$  のところにピークが立つ。



inclusive muon



like-sign dimuon

# $f_K, f_\pi, f_p$ の測定

$K^{*0} \rightarrow K^+ \pi^-$  で  $K$  を  $\mu$  と誤って同定したもののフラクションを  $f_{K^{*0}}$  とすると、

$$f_{K^{*0}} = \varepsilon_0 f_K R(K^{*0})$$

と表される。 $R(K^{*0})$  はこの過程における  $K$  のフラクション、 $\varepsilon_0$  は  $\pi$  の検出効率である。

ここで、 $K^{*+} \rightarrow K_S \pi^+$  について考える。

$$N(K^{*+} \rightarrow K_S \pi^+) = \varepsilon_c N(K_S) R(K^{*+})$$

$K^{*0} \rightarrow K^+ \pi^-$  とのアイソスピンの不定性や  $\pi$  の検出効率が等しいことから、

$$R(K^{*0}) = R(K^{*+}), \quad \varepsilon_0 = \varepsilon_c$$



$$f_K = \frac{N(K_S)}{N(K^{*+} \rightarrow K_S \pi^+)} f_{K^{*0}}$$



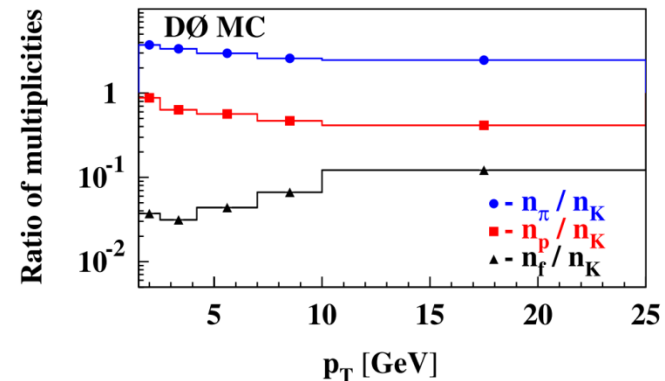
# $f_K, f_\pi, f_p$ の測定

$f_\pi, f_p$  は以下の式を用いて決定される。

$$f_\pi = f_K \frac{P(\pi \rightarrow \mu)}{P(K \rightarrow \mu)} \frac{n_\pi}{n_K}, \quad f_p = f_K \frac{P(p \rightarrow \mu)}{P(K \rightarrow \mu)} \frac{n_p + n_f}{n_K}$$

$$\frac{P(\pi \rightarrow \mu)}{P(K \rightarrow \mu)} = 0.540 \pm 0.029$$

$$\frac{P(p \rightarrow \mu)}{P(K \rightarrow \mu)} = 0.076 \pm 0.021$$



これらを用いて測定された値は以下の通りである。

| Bin | $f_K \times 10^2$ | $f_\pi \times 10^2$ | $f_p \times 10^2$ |
|-----|-------------------|---------------------|-------------------|
| 1   | $9.35 \pm 4.77$   | $36.20 \pm 4.12$    | $0.55 \pm 0.24$   |
| 2   | $14.91 \pm 1.00$  | $31.42 \pm 2.57$    | $0.11 \pm 0.29$   |
| 3   | $16.65 \pm 0.41$  | $27.41 \pm 3.46$    | $0.63 \pm 0.58$   |
| 4   | $17.60 \pm 0.49$  | $19.25 \pm 3.19$    | $0.64 \pm 0.71$   |
| 5   | $14.43 \pm 0.45$  | $30.01 \pm 1.60$    | $0.38 \pm 0.17$   |
| 6   | $12.75 \pm 0.97$  |                     |                   |
| All | $15.96 \pm 0.24$  |                     |                   |

# $F_K, F_\pi, F_p$ の測定

Inclusive muon と like-sign dimuon における物理過程は同じなので、

$$F_K = R_K f_K, \quad R_K = 2 \frac{N(K \rightarrow \mu) n(\mu)}{n(K \rightarrow \mu) N(\mu)}$$

として  $F_K$  を求めることが出来るが、 $K^+ \rightarrow \mu^+ \nu$  は再構成できないので、  
 ここでも  $K^{*0} \rightarrow K^+ \pi^-$  を使う。

$$R_K(K^{*0}) = 2 \frac{N(K^{*0} \rightarrow \mu) n(\mu)}{n(K^{*0} \rightarrow \mu) N(\mu)}, \quad \frac{N(K^{*0} \rightarrow \mu)}{n(K^{*0} \rightarrow \mu)} = \frac{N(K \rightarrow \mu)}{n(K \rightarrow \mu)}$$

また、 $K_S \rightarrow \pi^+ \pi^-$  から  $R_K$  を求めることが出来る。

$R_K$

| bin  | $R_K$ from $K^{*0}$ | $R_K$ from $K_S^0$ | average $R_K$     |
|------|---------------------|--------------------|-------------------|
| 1    | $0.983 \pm 0.154$   |                    | $0.983 \pm 0.154$ |
| 2    | $0.931 \pm 0.058$   |                    | $0.931 \pm 0.058$ |
| 3    | $0.880 \pm 0.052$   | $0.844 \pm 0.059$  | $0.864 \pm 0.039$ |
| 4    | $0.856 \pm 0.082$   | $0.800 \pm 0.040$  | $0.811 \pm 0.036$ |
| 5    | $0.702 \pm 0.112$   | $0.828 \pm 0.042$  | $0.813 \pm 0.039$ |
| 6    | $1.160 \pm 0.165$   | $1.138 \pm 0.117$  | $1.146 \pm 0.095$ |
| Mean | $0.892 \pm 0.032$   | $0.834 \pm 0.025$  | $0.856 \pm 0.020$ |

$F_K, F_\pi, F_p$

| Bin | $F_K \times 10^2$ | $F_\pi \times 10^2$ | $F_p \times 10^2$ |
|-----|-------------------|---------------------|-------------------|
| 1   | $9.19 \pm 4.90$   |                     |                   |
| 2   | $13.88 \pm 1.26$  | $30.54 \pm 3.89$    | $0.47 \pm 0.21$   |
| 3   | $14.38 \pm 0.74$  | $24.43 \pm 2.28$    | $0.09 \pm 0.22$   |
| 4   | $14.26 \pm 0.74$  | $19.99 \pm 2.67$    | $0.46 \pm 0.42$   |
| 5   | $11.73 \pm 0.67$  |                     |                   |
| 6   | $14.48 \pm 1.64$  | $14.90 \pm 2.55$    | $0.49 \pm 0.55$   |
| All | $13.78 \pm 0.38$  | $24.81 \pm 1.34$    | $0.35 \pm 0.14$   |

# $f_S, F_{SS}$ の測定

$f_S$  は以下のように表すことが出来るから、これまでの測定から求めることが出来る。

$$f_S = 1 - f_K - f_\pi - f_p$$

また、 $F_{\text{bkg}}$  もこれまでの測定から求められる。

$$F_{\text{bkg}}^i \equiv F_K^i + F_\pi^i + F_p^i$$

$$F_{\text{bkg}} \equiv \sum_{i=1}^6 (F_\mu^i F_{\text{bkg}}^i) = F_{SL} + 2F_{LL} = 1 + F_{LL} - F_{SS}$$

しかし、これだけでは  $F_{SS}$  は求められないので、シミュレーションから

$$\frac{F_{LL}}{F_{SL} + F_{LL}} = 0.264 \pm 0.024$$

を得る。これと  $F_{\text{bkg}}$  から  $F_{LL}, F_{SL}, F_{SS}$  を得ることが出来る。

$$f_S = 0.536 \pm 0.017 \text{ (stat)} \pm 0.043 \text{ (syst)},$$

$$F_{\text{bkg}} = 0.389 \pm 0.019 \text{ (stat)} \pm 0.038 \text{ (syst)},$$

$$F_{LL} = 0.082 \pm 0.005 \text{ (stat)} \pm 0.010 \text{ (syst)},$$

$$F_{SL} = F_{\text{bkg}} - 2F_{LL},$$

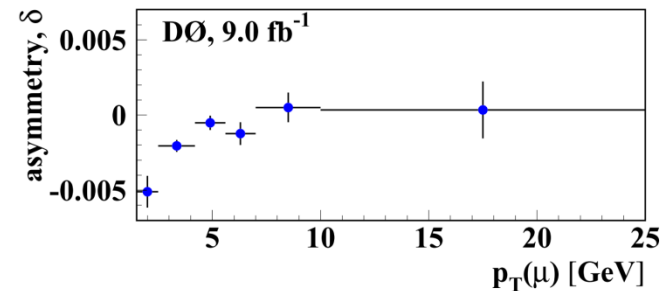
$$F_{SS} = 0.692 \pm 0.015 \text{ (stat)} \pm 0.030 \text{ (syst)}.$$

# $a_K, a_\pi, a_p, \delta$ の測定

$\delta$  は検出器の性能 ( $\mu$  の検出、同定) に由来する非対称度であるが、ソレノイドとトロイドの地場の向き、またその組み合わせをおよそ2週間おきに入れ替えることで、その大部分はキャンセルされている。

残りの部分は、 $p_T$  の関数として評価することが出来る。

| Bin | $\delta_i \times 10^2$ |
|-----|------------------------|
| 1   | $-0.509 \pm 0.106$     |
| 2   | $-0.205 \pm 0.040$     |
| 3   | $-0.053 \pm 0.048$     |
| 4   | $-0.124 \pm 0.075$     |
| 5   | $+0.050 \pm 0.099$     |
| 6   | $+0.034 \pm 0.189$     |

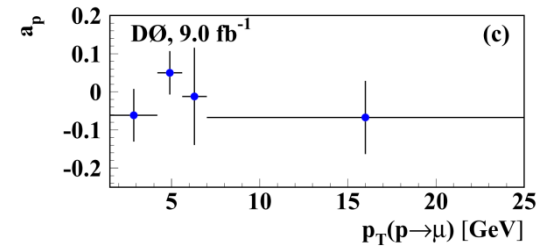
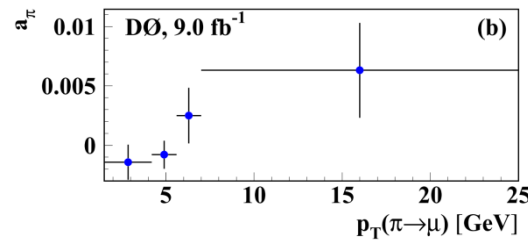
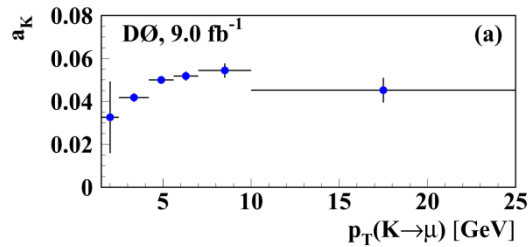


$$\delta \equiv \sum_{i=1}^6 f_{\mu}^i \delta_i = (-0.088 \pm 0.023)\%$$

$$\Delta \equiv \sum_{i=1}^6 F_{\mu}^i \delta_i = (-0.132 \pm 0.019)\%$$

# $a_K, a_\pi, a_p, \delta$ の測定

$a_K$  は  $K^{*0} \rightarrow K^+ \pi^-$  や  $\phi \rightarrow K^+ K^-$  の  $K$  を  $\mu$  と miss ID したイベントから、正電荷と負電荷のものを別々に測定することで得られる。  
 $a_p, a_\pi$  も同様に  $K_S \rightarrow \pi^+ \pi^-$ ,  $\Lambda \rightarrow p \pi^-$  から得られる。



| Bin | $a_K \times 10^2$ | $a_\pi \times 10^2$ | $a_p \times 10^2$ |
|-----|-------------------|---------------------|-------------------|
| 1   | $+3.26 \pm 1.67$  | $-0.14 \pm 0.15$    | $-6.2 \pm 6.9$    |
| 2   | $+4.18 \pm 0.20$  | $-0.08 \pm 0.12$    | $+4.9 \pm 5.6$    |
| 3   | $+5.00 \pm 0.13$  | $+0.25 \pm 0.23$    | $-1.2 \pm 12.8$   |
| 4   | $+5.18 \pm 0.22$  | $+0.63 \pm 0.40$    | $-6.8 \pm 9.6$    |
| 5   | $+4.52 \pm 0.57$  |                     |                   |
| 6   |                   |                     |                   |
| All | $+4.88 \pm 0.09$  | $-0.03 \pm 0.08$    | $-0.8 \pm 3.8$    |

$f, F$  の測定結果と合わせると、

| Bin | $f_K a_K \times 10^2$ | $f_\pi a_\pi \times 10^2$ | $f_p a_p \times 10^2$ |
|-----|-----------------------|---------------------------|-----------------------|
| 1   | $+0.305 \pm 0.220$    | $-0.052 \pm 0.054$        | $-0.034 \pm 0.041$    |
| 2   | $+0.624 \pm 0.052$    |                           |                       |
| 3   | $+0.832 \pm 0.030$    | $-0.025 \pm 0.037$        | $+0.005 \pm 0.016$    |
| 4   | $+0.912 \pm 0.046$    | $+0.068 \pm 0.065$        | $-0.008 \pm 0.081$    |
| 5   | $+0.785 \pm 0.054$    | $+0.121 \pm 0.079$        | $-0.043 \pm 0.077$    |
| 6   | $+0.577 \pm 0.086$    |                           |                       |
| All | $+0.776 \pm 0.021$    | $+0.007 \pm 0.027$        | $-0.014 \pm 0.022$    |

| Bin | $F_K a_K \times 10^2$ | $F_\pi a_\pi \times 10^2$ | $F_p a_p \times 10^2$ |
|-----|-----------------------|---------------------------|-----------------------|
| 1   | $+0.300 \pm 0.222$    | $-0.044 \pm 0.046$        | $-0.029 \pm 0.035$    |
| 2   | $+0.581 \pm 0.060$    |                           |                       |
| 3   | $+0.719 \pm 0.042$    | $-0.020 \pm 0.029$        | $+0.004 \pm 0.012$    |
| 4   | $+0.739 \pm 0.050$    | $+0.050 \pm 0.047$        | $-0.005 \pm 0.059$    |
| 5   | $+0.638 \pm 0.054$    | $+0.094 \pm 0.062$        | $-0.033 \pm 0.060$    |
| 6   | $+0.655 \pm 0.112$    |                           |                       |
| All | $+0.633 \pm 0.031$    | $-0.002 \pm 0.023$        | $-0.016 \pm 0.019$    |

# 係数 $c_b$ , $C_b$

$$a_S = \underline{c_b} A_{sl}^b, \quad A_S = \underline{C_b} A_{sl}^b$$

Inclusive muon に含まれる崩壊は以下の通り。

|          | Process  | Weight                     |
|----------|--|----------------------------|
| $T_1$    | $b \rightarrow \mu^- X$  | $w_1 \equiv 1$             |
| $T_{1a}$ | $b \rightarrow \mu^- X$ (nos)  | $w_{1a} = (1 - \chi_0)w_1$ |
| $T_{1b}$ | $\bar{b} \rightarrow b \rightarrow \mu^- X$ (osc)  | $w_{1b} = \chi_0 w_1$      |
| $T_2$    | $b \rightarrow c \rightarrow \mu^+ X$  | $w_2 = 0.113 \pm 0.010$    |
| $T_{2a}$ | $b \rightarrow c \rightarrow \mu^+ X$ (nos)  | $w_{2a} = (1 - \chi_0)w_2$ |
| $T_{2b}$ | $\bar{b} \rightarrow b \rightarrow c \rightarrow \mu^+ X$ (osc)                            | $w_{2b} = \chi_0 w_2$      |
| $T_3$    | $b \rightarrow c\bar{c}q$ with $c \rightarrow \mu^+ X$<br>or $\bar{c} \rightarrow \mu^- X$ | $w_3 = 0.062 \pm 0.006$    |
| $T_4$    | $\eta, \omega, \rho^0, \phi(1020), J/\psi, \psi' \rightarrow \mu^+ \mu^-$                  | $w_4 = 0.021 \pm 0.001$    |
| $T_5$    | $b\bar{b}c\bar{c}$ with $c \rightarrow \mu^+ X$ or $\bar{c} \rightarrow \mu^- X$           | $w_5 = 0.013 \pm 0.002$    |
| $T_6$    | $c\bar{c}$ with $c \rightarrow \mu^+ X$ or $\bar{c} \rightarrow \mu^- X$                   | $w_6 = 0.660 \pm 0.077$    |

Weight は MC で求められている。

$$\chi_0 = f'_d \chi_{d0} + f'_s \chi_{s0}$$

$$\chi_0(\text{HFAG}) = 0.1259 \pm 0.0042$$

この weight を使って、 $c_b$  は

$$c_b = \frac{w_{1b} - w_{2b}}{w_1 + w_2 + w_3 + w_4 + w_5 + w_6}$$

と求められる。

# 係数 $c_b$ , $C_b$

一方、 $C_b$  は

$$P_b \propto w_{1a} + w_{2b} + 0.5(w_3 + w_4 + w_5)$$

$$P_{as} \propto w_{1b}[w_{1a} + 0.5(w_3 + w_4 + w_5)]$$

$$P_{\bar{b}} \propto w_{1b} + w_{2a} + 0.5(w_3 + w_4 + w_5)$$

$$- w_{2b}[w_{2a} + 0.5(w_3 + w_4 + w_5)]$$

$$P_{\text{tot}} \propto P_b P_{\bar{b}}$$

$$C_b = P_{as}/P_{\text{tot}}$$

と求められる。また、

$$C_b = \frac{N_{\text{dd}} - N_{\text{ss}} + \chi_0(N_{\text{dr}} - N_{\text{sr}})}{N_{\text{ls}}}$$

として求めることもでき、この結果は良く一致している。  
これらを用いて求めた値は、

$$c_b = +0.061 \pm 0.007,$$

$$C_b = +0.474 \pm 0.032.$$

# 結果



# ちょっとおさらい

$$a = \frac{n^+ - n^-}{n^+ + n^-} = \sum_{i=1}^6 f_{\mu}^i \{ f_S^i (a_S + \delta_i) + f_K^i a_K^i + f_{\pi}^i a_{\pi}^i + f_p^i a_p^i \}$$

$$A = \frac{N^{++} - N^{--}}{N^{++} + N^{--}} = F_{SS} A_S + F_{SL} a_S + \sum_{i=1}^6 F_{\mu}^i \{ (2 - F_{\text{bkg}}^i) \delta_i + F_K^i a_K^i + F_{\pi}^i a_{\pi}^i + F_p^i a_p^i \}$$

$$F_{\text{bkg}}^i \equiv F_K^i + F_{\pi}^i + F_p^i$$

$$F_{\text{bkg}} \equiv \sum_{i=1}^6 (F_{\mu}^i F_{\text{bkg}}^i) = F_{SL} + 2F_{LL} = 1 + F_{LL} - F_{SS}$$

特に、 $a_S, A_S$  は  $S$  muon の非対称度であり、

$$a_S = c_b A_{\text{sl}}^b, \quad A_S = C_b A_{\text{sl}}^b$$

と表される。よって、この  $a, A$  を使って  $A_{\text{sl}}^b$  を求めることができる。

$$A_{sl}^b$$

$a, A$  は単純に inclusive muon , like-sign dimuon のイベント数を  
カウントすれば求まる。

$$a = (+0.688 \pm 0.002) \%$$

$$A = (+0.126 \pm 0.041) \%$$

これまでに、

$$a = \frac{n^+ - n^-}{n^+ + n^-} = \sum_{i=1}^6 f_{\mu}^i \{ f_S^i (a_S + \delta_i) + f_K^i a_K^i + f_{\pi}^i a_{\pi}^i + f_p^i a_p^i \}$$

$$A = \frac{N^{++} - N^{--}}{N^{++} + N^{--}} = F_{SS} A_S + F_{SL} a_S + \sum_{i=1}^6 F_{\mu}^i \{ (2 - F_{\text{bkg}}^i) \delta_i + F_K^i a_K^i + F_{\pi}^i a_{\pi}^i + F_p^i a_p^i \}$$

$$a_S = c_b A_{sl}^b, \quad A_S = C_b A_{sl}^b$$

で現れるパラメータは全て決定したので、 $a, A$  のそれぞれから  $A_{sl}^b$   
を求めることが出来る。

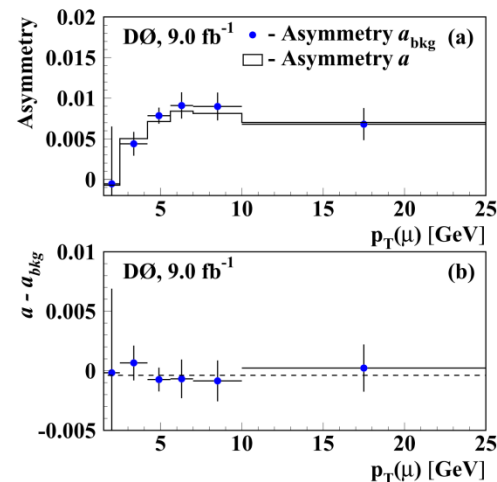
$$a \rightarrow A_{sl}^b = (-1.04 \pm 1.30 \text{ (stat)} \pm 2.31 \text{ (syst)}) \%$$

$$A \rightarrow A_{sl}^b = (-0.808 \pm 0.202 \text{ (stat)} \pm 0.222 \text{ (syst)}) \%$$

$$A_{sl}^b$$

この結果ではあまり良い精度は得られていない。特に  $a$  から得た値は、ほとんどがバックグラウンドの寄与によるものである。

| bin | $a \times 10^2$    | $a_{\text{bkg}} \times 10^2$ |
|-----|--------------------|------------------------------|
| 1   | $-0.071 \pm 0.025$ | $-0.055 \pm 0.240 \pm 0.664$ |
| 2   | $+0.503 \pm 0.005$ | $+0.438 \pm 0.089 \pm 0.117$ |
| 3   | $+0.712 \pm 0.003$ | $+0.785 \pm 0.056 \pm 0.083$ |
| 4   | $+0.841 \pm 0.005$ | $+0.910 \pm 0.124 \pm 0.105$ |
| 5   | $+0.812 \pm 0.007$ | $+0.897 \pm 0.139 \pm 0.101$ |
| 6   | $+0.702 \pm 0.010$ | $+0.680 \pm 0.189 \pm 0.059$ |



この結果を改善するために

$$A' \equiv A - \alpha a$$

を用いる。最も  $A_{sl}^b$  の不定性が小さくなるように  $\alpha$  を選ぶと、

$$\alpha = 0.89,$$

$$A_{sl}^b = (-0.787 \pm 0.172 \text{ (stat)} \pm 0.093 \text{ (syst)})\%.$$

# $A_{sl}^b$

この結果は SM の予測  $A_{sl}^b(\text{SM}) = (-0.028_{-0.006}^{+0.005})\%$  から  $3.9\sigma$  のずれがある。

以下はこれらの結果の不定性のまとめ。

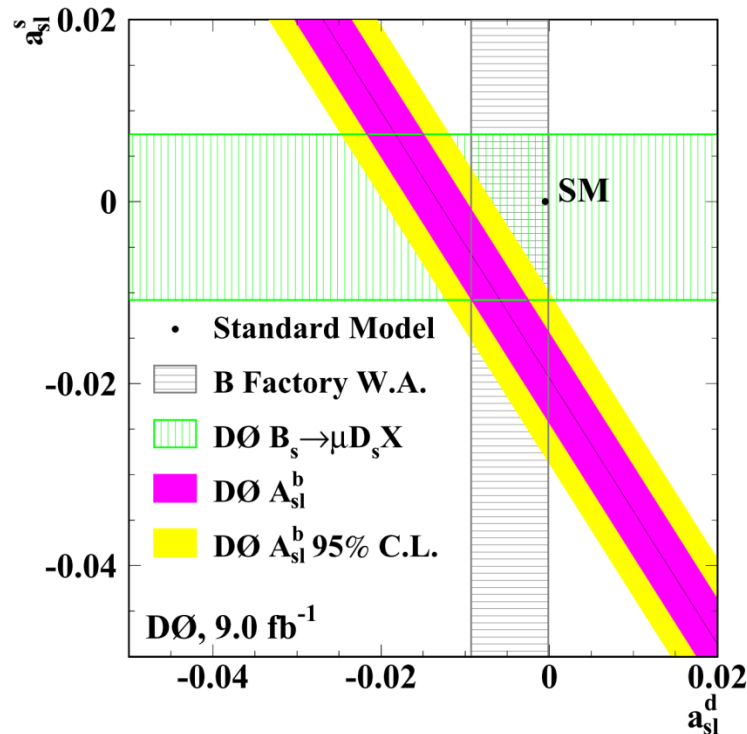
|   | $a$  | $A$  | $A - \alpha a$                             |
|---|--|--|--|
| Source  | $\delta(A_{sl}^b) \times 10^2$<br>Eq. (34) | $\delta(A_{sl}^b) \times 10^2$<br>Eq. (35) | $\delta(A_{sl}^b) \times 10^2$<br>Eq. (36) |
| $A$ or $a$ (stat)                             | 0.068                                      | 0.121                                      | 0.132                                      |
| $f_K$ (stat)                                  | 0.472                                      | 0.064                                      | 0.028                                      |
| $R_K$ (stat)                                  | N/A  | 0.059                                      | 0.065                                      |
| $P(\pi \rightarrow \mu)/P(K \rightarrow \mu)$ | 0.181                                      | 0.023                                      | 0.008                                      |
| $P(p \rightarrow \mu)/P(K \rightarrow \mu)$   | 0.323                                      | 0.026                                      | 0.002                                      |
| $A_K$   | 0.458                                      | 0.052                                      | 0.037                                      |
| $A_\pi$                                       | 0.802                                      | 0.067                                      | 0.030                                      |
| $A_p$   | 0.584                                      | 0.050                                      | 0.020                                      |
| $\delta$ or $\Delta$                          | 0.377                                      | 0.087                                      | 0.067                                      |
| $f_K$ (syst)                                  | 2.310                                      | 0.204                                      | 0.007                                      |
| $R_K$ (syst)                                  | N/A  | 0.068                                      | 0.072                                      |
| $\pi, K, p$ multiplicity                      | 0.067                                      | 0.019                                      | 0.017                                      |
| $c_b$ or $C_b$                                | 0.121                                      | 0.052                                      | 0.056                                      |
| Total statistical                             | 1.304                                      | 0.202                                      | 0.172                                      |
| Total systematic                              | 2.313                                      | 0.222                                      | 0.093                                      |
| Total   | 2.656                                      | 0.300                                      | 0.196                                      |

$$A_{sl}^b$$

$$A_{sl}^b \equiv \frac{N_b^{++} - N_b^{--}}{N_b^{++} + N_b^{--}} = C_d a_{sl}^d + C_s a_{sl}^s$$

$$C_d = 0.594 \pm 0.022, \quad C_s = 0.406 \pm 0.022$$

上式から、 $A_{sl}^b$  は  $a_{sl}^d$  と  $a_{sl}^s$  の平面に制限を与えることが出来る。



$$A_{sl}^b$$

また、 $A' \equiv A - \alpha a$  からバックグラウンドの寄与を除いて評価すると、

$$A_{\text{res}} \equiv (A - \alpha a) - (A_{\text{bkg}} - \alpha a_{\text{bkg}})$$

$$A_{\text{res}} = (-0.246 \pm 0.052 \text{ (stat)} \pm 0.021 \text{ (syst)})\%$$

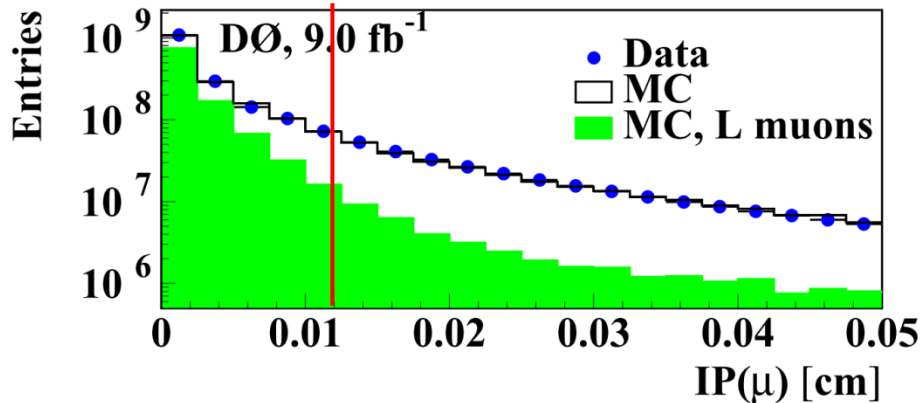
となる。SM の予測は

$$A_{\text{res}}(\text{SM}) = (-0.009 \pm 0.002)\%$$

であり、 $4.2 \sigma$  のずれが確認された。

# $A_{sl}^b$ の $\mu$ impact parameter 依存性

シミュレーションから、 $L$  muon は impact parameter が小さいことが分かった。



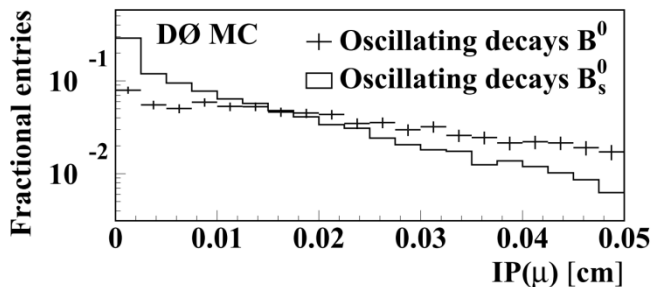
つまり、 $\mu$  の impact parameter が大きいものを選べば、バックグラウンドを抑制することが出来る。

測定した非対称度が本当に目的の CPV から来ているものか検証するために、impact parameter が  $120 \mu\text{m}$  より大きい領域と小さい領域で別々に  $A_{sl}^b$  を測定した。

# $A_{sl}^b$ の $\mu$ impact parameter 依存性

|                         | $A_{sl}^b(IP_{>120})$ [%]                    | $A_{sl}^b(IP_{<120})$ [%]                 |
|-------------------------|--|---|
| Use $a$                 | $-0.422 \pm 0.240$ (stat) $\pm 0.121$ (syst) | $-1.65 \pm 2.77$ (stat) $\pm 4.96$ (syst) |
| Use $A$                 | $-0.818 \pm 0.342$ (stat) $\pm 0.067$ (syst) | $-1.17 \pm 0.44$ (stat) $\pm 0.59$ (syst) |
| Use $A' = A - \alpha a$ | $-0.579 \pm 0.210$ (stat) $\pm 0.094$ (syst) | $-1.14 \pm 0.37$ (stat) $\pm 0.32$ (syst) |

ここで、 $B_{(s)}^0$  の振動について考える。 $B^0$  は寿命に対して振動の周期が十分に長いので、 $B^0$  が飛べば飛ぶほどミキシングの影響は大きくなっていく。一方で、 $B_s^0$  は寿命までの間に何度も振動するので、長距離を飛んでもあまり影響は出ない。



$$\text{for } IP > 120 \mu\text{m} \quad A_{sl}^b = (0.728 \pm 0.018)a_{sl}^d + (0.272 \pm 0.018)a_{sl}^s$$

$$\text{for } IP < 120 \mu\text{m} \quad A_{sl}^b = (0.397 \pm 0.022)a_{sl}^d + (0.603 \pm 0.022)a_{sl}^s$$



# $A_{sl}^b$ の $\mu$ impact parameter 依存性

|                         | $A_{sl}^b(IP_{>120})$ [%]   | $A_{sl}^b(IP_{<120})$ [%]  |
|-------------------------|---|--|
| Use $a$                 | $-0.422 \pm 0.240$ (stat) $\pm 0.121$ (syst)                              | $-1.65 \pm 2.77$ (stat) $\pm 4.96$ (syst)                              |
| Use $A$                 | $-0.818 \pm 0.342$ (stat) $\pm 0.067$ (syst)                              | $-1.17 \pm 0.44$ (stat) $\pm 0.59$ (syst)                              |
| Use $A' = A - \alpha a$ | <u><math>-0.579 \pm 0.210</math> (stat) <math>\pm 0.094</math> (syst)</u> | <u><math>-1.14 \pm 0.37</math> (stat) <math>\pm 0.32</math> (syst)</u> |

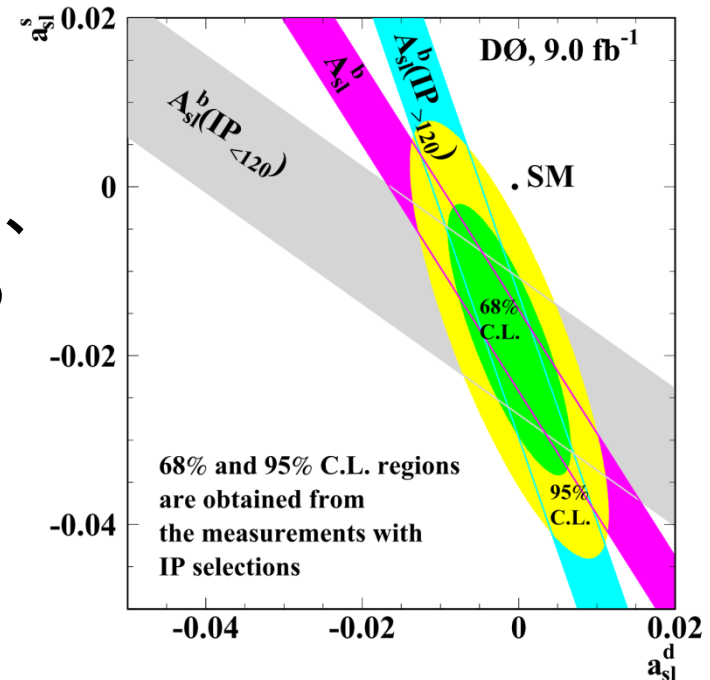
for  $IP > 120 \mu\text{m}$   $A_{sl}^b = (0.728 \pm 0.018)a_{sl}^d + (0.272 \pm 0.018)a_{sl}^s$

for  $IP < 120 \mu\text{m}$   $A_{sl}^b = (0.397 \pm 0.022)a_{sl}^d + (0.603 \pm 0.022)a_{sl}^s$

$A_{sl}^b(IP_{>120})$  と  $A_{sl}^b(IP_{<120})$  は独立なデータなので、この2つの結果を連立して  $a_{sl}^d$  と  $a_{sl}^s$  を求めることができる。

$$a_{sl}^d = (-0.12 \pm 0.52)\%$$

$$a_{sl}^s = (-1.81 \pm 1.06)\%$$



# まとめ

- dimuon の荷電非対称度の新しい測定結果を得た。

$$A_{sl}^b = (-0.787 \pm 0.172 \text{ (stat)} \pm 0.093 \text{ (syst)})\%$$

- この結果は SM と  $3.9 \sigma$  異なる。
- この非対称度の  $\mu$  の impact parameter への依存性を確認した。

$$A_{sl}^b(IP_{>120}) = (-0.579 \pm 0.210 \text{ (stat)} \pm 0.094 \text{ (syst)})\%$$

$$A_{sl}^b(IP_{<120}) = (-1.14 \pm 0.37 \text{ (stat)} \pm 0.32 \text{ (syst)})\%$$

- Impact parameter の研究から  $a_{sl}^d$  と  $a_{sl}^s$  を得た。

$$a_{sl}^d = (-0.12 \pm 0.52)\%$$

$$a_{sl}^s = (-1.81 \pm 1.06)\%$$

$$f_S = 1 - f_K - f_\pi - f_p$$

Back up

$$A_{\text{sl}}^b \equiv \frac{N_b^{++} - N_b^{--}}{N_b^{++} + N_b^{--}} \quad a_{\text{sl}}^q = \frac{\Delta\Gamma_q}{\Delta M_q} \tan \phi_q$$

$$A_{\text{sl}}^b \equiv \frac{N_b^{++} - N_b^{--}}{N_b^{++} + N_b^{--}} = C_d a_{\text{sl}}^d + C_s a_{\text{sl}}^s \quad A_{\text{sl}}^b = C_d a_{\text{sl}}^d + C_s a_{\text{sl}}^s$$

$$a = \frac{n^+ - n^-}{n^+ + n^-} = \sum_{i=1}^6 f_\mu^i \{ f_S^i (a_S + \delta_i) + f_K^i a_K^i + f_\pi^i a_\pi^i + f_p^i a_p^i \}$$

$$a = \frac{n^+ - n^-}{n^+ + n^-} = \sum_{i=1}^6 f_\mu^i \{ f_S^i (a_S + \delta_i) + f_K^i a_K^i + f_\pi^i a_\pi^i + f_p^i a_p^i \}$$

$$A = \frac{N^{++} - N^{--}}{N^{++} + N^{--}} = F_{SS} A_S + F_{SL} a_S + \sum_{i=1}^6 F_\mu^i \{ (2 - F_{\text{bkg}}^i) \delta_i + F_K^i a_K^i + F_\pi^i a_\pi^i + F_p^i a_p^i \}$$

$$A = \frac{N^{++} - N^{--}}{N^{++} + N^{--}} = F_{SS} A_S + F_{SL} a_S + \sum_{i=1}^6 F_\mu^i \{ (2 - F_{\text{bkg}}^i) \delta_i + F_K^i a_K^i + F_\pi^i a_\pi^i + F_p^i a_p^i \}$$

$$a_S = c_b A_{sl}^b$$

$$A_S = C_b A_{sl}^b$$

$$a_S = c_b A_{sl}^b, \quad A_S = C_b A_{sl}^b$$

$$A' \equiv A - \alpha a \quad f_K^i \quad F_K^i \quad \eta \equiv -\ln [\tan (\theta / 2)]$$

$$f_{K^{*0}} = \varepsilon_0 f_K R(K^{*0})$$

$$R(K^{*0}) = R(K^{*+}), \quad \varepsilon_0 = \varepsilon_c$$

$$f_K = \frac{N(K_S)}{N(K^{*+} \rightarrow K_S \pi^+)} f_{K^{*0}} \quad F_K = \frac{N(K_S)}{N(K^{*+} \rightarrow K_S \pi^+)} F_{K^{*0}}$$

$$f_\pi = f_K \frac{P(\pi \rightarrow \mu)}{P(K \rightarrow \mu)} \frac{n_\pi}{n_K}$$

$$f_p = f_K \frac{P(p \rightarrow \mu)}{P(K \rightarrow \mu)} \frac{n_p + n_f}{n_K}$$

$$F_K = R_K f_K$$

$$R_K = 2 \frac{N(K \rightarrow \mu)}{n(K \rightarrow \mu)} \frac{n(\mu)}{N(\mu)}$$

$$R_K(K^{*0}) = 2 \frac{N(K^{*0} \rightarrow \mu)}{n(K^{*0} \rightarrow \mu)} \frac{n(\mu)}{N(\mu)}$$

$$\frac{N(K^{*0} \rightarrow \mu)}{n(K^{*0} \rightarrow \mu)} = \frac{N(K \rightarrow \mu)}{n(K \rightarrow \mu)}$$